

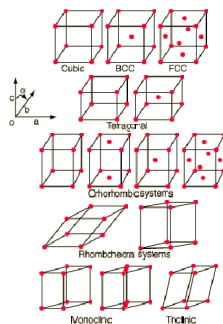
Fizičko-hemijski aspekti nauke o materijalima

Deo 1
Igor Pašti

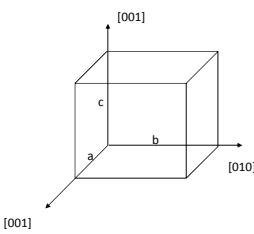
Sadržaj 1.1.

- Struktura kristala
- Elektronska struktura čvrstih materijala

7 sistema 14 Braveovih rešetki



Milerovi indeksi (hkl):



Pravci: [hkl]
 Porodice pravaca: <hkl>
 Ravnii: {hkl}
 Porodice ravnii: {hkl}

Da bi se identifikovale ravnii:
 Korak 1 : identifikovati preseke na x-, y- i z- osama.
 Korak 2 : Odrediti preseke u frakcionim koordinatama
 Korak 3 : Uzeti recipročne vrednosti frakcionih koordinata odsečaka

Milerovi indeksi(hkl):

Da bi se identifikovale ravnii:
 Korak 1 : identifikovati preseke na x-, y- i z- osama.
 Korak 2 : Odrediti preseke u frakcionim koordinatama
 Korak 3 : Uzeti recipročne vrednosti frakcionih koordinata odsečaka

Primer za kubne sisteme:

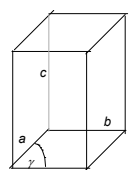
(110)

(210)

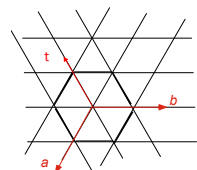
(111)

(100)

Hexagonalni sistemi



label 'low-index' planes parallel to c axis:



a = b, c
 ∠ = 120°

4 indeksa (Weberovi simboli)
 (a b t c)
 a + b + t = 0

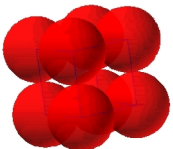
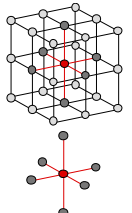
Periodni sistem

H																					He					
Li	Be																				B	C	N	O	F	Ne
Na	Mg																				Al	Si	P	S	Cl	Ar
K	Ca	Sc	Ti	V	Cr	Mn	Fe	Co	Ni	Cu	Zn	Ga	Ge	As	Se	Br	Kr									
Rb	Sr	Y	Zr	Nb	Mo	Tc	Ru	Rh	Pd	Ag	Cd	In	Sn	Sb	Te	I	Xe									
Cs	Ba	La	Hf	Ta	W	Re	Os	Ir	Pt	Au	Hg	Tl	Pb	Bi	Po	At	Rn									
Fr	Ra	Ac																								

FCC
 BCC
 HCP
 Diamond
 Other

Jednostavna kubna struktura Simple Cubic Structure (SC)

- Retka zbog male gustine pakovanja (samo Po ima ovu strukturu)
- Pravci gustog pakovanja su ivice kocke.
- koordinacioni # = 6
(# broj najbližih suseda)

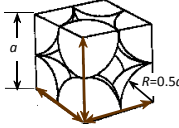
Broj atoma u ćeliji?

Faktor pakovanja atoma Atomic Packing Factor (APF)

$$APF = \frac{\text{Zapremina atoma u jediničnoj ćeliji}^*}{\text{Zapremina jedinične ćelije}}$$

*pretpostavlja čvrste sfere

- APF za SCC= 0.52



Atom

Jedinična ćelija → 1

APF = $\frac{4}{3} \cdot \frac{4}{3} \cdot (0.5a)^3$

zapremina atoma

zapremina Jedinična ćelija

a^3

Pravci gustog pakovanja sadrži $8 \times 1/8 = 1$ atom/jedinična ćelija

APF za BCC

- APF = 0.68

Koordinacioni broj?

Pravci gustog pakovanja su dijagonale kocke:
Dužina = $4R = \sqrt{3}a$

atoma
Jedinična ćelija → $2 \cdot \frac{4}{3} \cdot \left(\frac{\sqrt{3}a}{4}\right)^3$ ← zapremina atom

APF = $\frac{2 \cdot \frac{4}{3} \cdot \left(\frac{\sqrt{3}a}{4}\right)^3}{a^3}$ ← zapremina Jedinična ćelija

Površinski centrirana kubna rešetka (FCC)

- Atomi se dodiruju duž dijagonala strana kocke.

Al, Cu, Au, Pb, Ni, Pt, Ag • Koordinacioni # = 12

4 atoma/jedinična ćelija: 6 strana x 1/2 + 8 ćoškovi x 1/8

APF za FCC

- APF za FCC = 0.74

Maksimalni APF!

Pravci gustog pakovanja:
Dužina = $4R = \sqrt{2}a$

4 atoms/unit cell

atoma
Jedinična ćelija → $4 \cdot \frac{4}{3} \cdot \left(\frac{\sqrt{2}a}{4}\right)^3$ ← zapremina atom

APF = $\frac{4 \cdot \frac{4}{3} \cdot \left(\frac{\sqrt{2}a}{4}\right)^3}{a^3}$ ← zapremina Jedinična ćelija

FCC slaganje

- ABCABC... Sekvenca duž 111 pravca
- 2D projekcija

- jednična ćelija

Heksagonalna gusto pakovanje (HCP)

- ABAB... sekvenca
- 3D projekcija

- koordinacioni # = 12
- APF = 0.74
- $c/a = 1.633$

6 atoma/jediničnoj ćeliji
Na primer: Cd, Mg, Ti, Zn

Teorijska gustina, ρ

Gustina = $\rho = \frac{\text{Masa atoma u jediničnoj ćeliji}}{\text{Zapremina jedinične ćelije}}$

$$\rho = \frac{nA}{V_c N_A}$$

n = broj atoma u jediničnoj ćeliji
 A = atomska težina
 V_c = zapremina jedinične ćelije = a^3 za kubne sisteme
 N_A = Avogadrov broj
 $= 6.022 \times 10^{23}$ atom/mol

Teorijska gustina, ρ

Primer: Cr (BCC)

- $A = 52.00 \text{ g/mol}$
- $R = 0.125 \text{ nm}$
- $n = 2 \text{ atoma u jediničnoj ćeliji}$
- $a = 4R/\sqrt{3} = 0.2887 \text{ nm}$

$\rho = \frac{\text{atoma}}{\text{Jedinična ćelija}} \cdot \frac{\text{g}}{\text{mol}} \cdot \frac{\text{mol}}{\text{atoma}}$

$\rho = \frac{2 \cdot 52.00}{(0.2887 \times 10^{-7})^3} = 7.18 \text{ g/cm}^3$ (teorijska)

$\rho = 7.19 \text{ g/cm}^3$ (stvarna)

$\rho = \frac{m}{V} = \frac{6.022 \times 10^{23} \text{ atom}}{6.022 \times 10^{-23} \text{ mol}} = 7.19 \text{ g/cm}^3$

Gustine različitih klasa materijala

Uopšteno: $\rho_{\text{metali}} > \rho_{\text{keramike}} > \rho_{\text{polimeri}}$

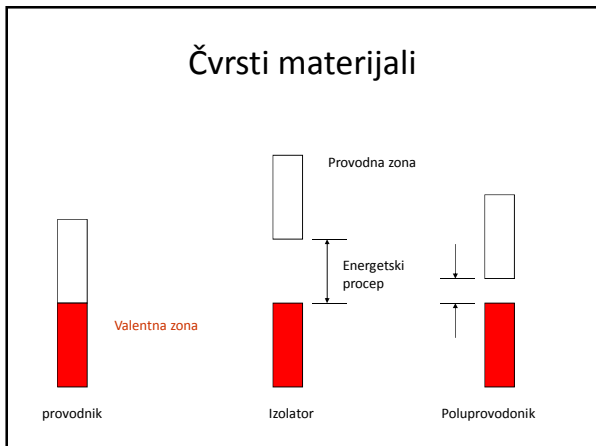
Zašto?

- Metali imaju:**
 - gusto pakovanje (metalna veza)
 - često velike atomske mase
- Keramike imaju...**
 - manje gusta pakovanja
 - lakše elemente
- Polimeri imaju...**
 - malu gustinu pakovanja (često amorfni)
 - lake elemente (C,H,O)
- Kompoziti imaju...**
 - nešto između

Data from Table B.1, Callister & Rethwisch, 8e.

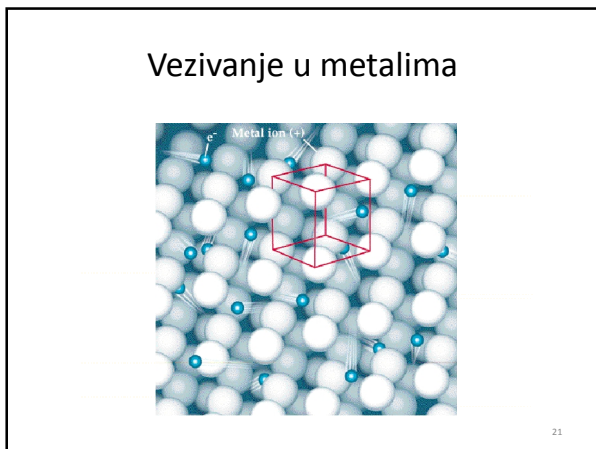
Elektronska struktura čvrstih metala

- Zonska teorija
- Elektronski provodnici: uglavnom metali
- Izolatori: uglavnom nemetalni materijali
- Poluprovodnici (metaloide)



Vezivanje u metalima

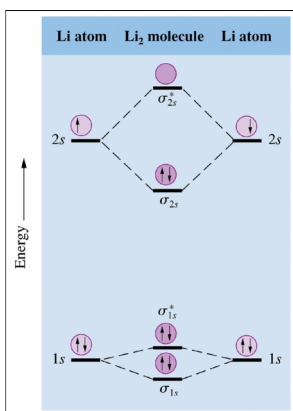
- Niz pozitivnih jona okružen delokalizovanim valentnim elektronima
 - Dobri elektronski provodnici zbog mobilnosti delokalizovanih valentnih elektrona
 - Dobri toplotni provodnici



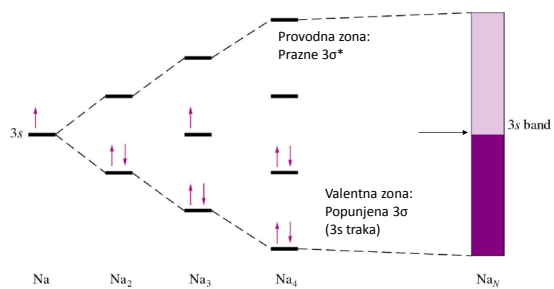
Vezivanje u metalima

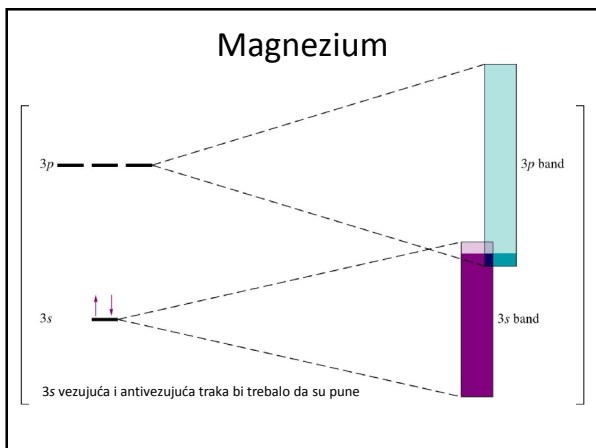
- Energetski nivoi formiraju energetske zone ili trake
- Kada se ekscitiraju elektroni prelaze na slobodne nivoe u energetske zone
- S obzirom da nema energetskog procepa ovo zahteva vrlo malo energije

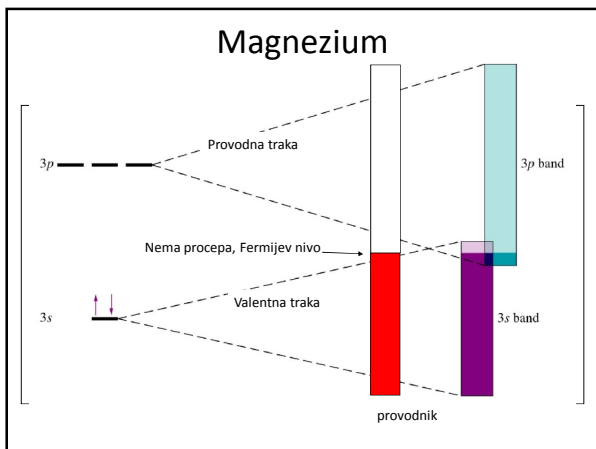
Vezivanje u metalima Li prema MO teoriji

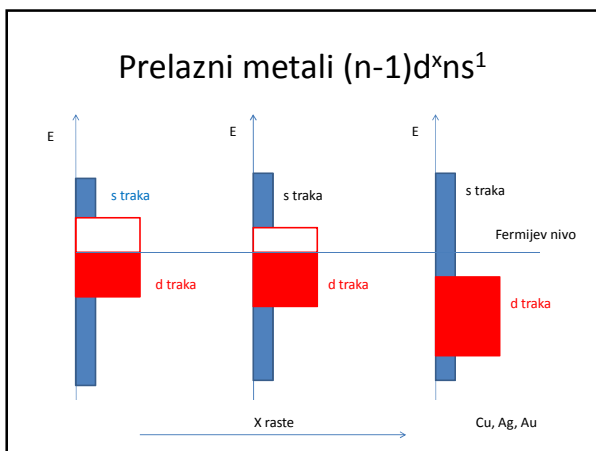


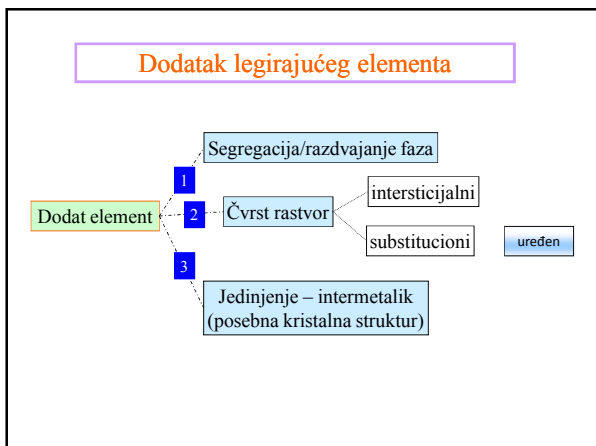
Na prema zonskoj teoriji

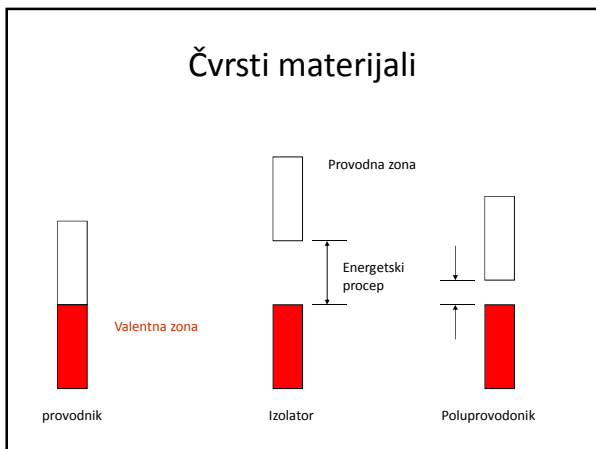








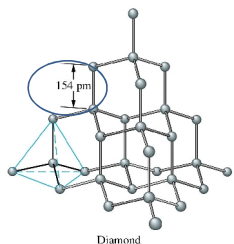




Alotropi ugljenika – dijamant vs. grafit

- Dijamant: visoka toplotna provodljivost, ekstremno čvrst, izolator
- Grafit: visoka toplotna provodljivost, provodnik

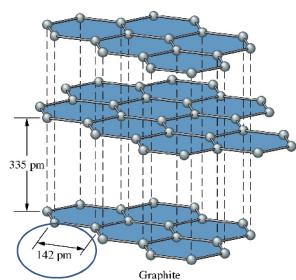
Sruktura dijamanta



Diamond

- **3D struktura, jednostruke veze, sp^3 hibridizacija.**
- **Zašto provodi toplotu?**
 - Kod metala pokretni elektroni nose višak kinetičke energije.
 - Dijamant je izolator bez pokretnih naelektrisanja.
 - Toplota se provodi preko vibracija rešetke
- **4 puta bolji toplotni provodnik od bakra!**

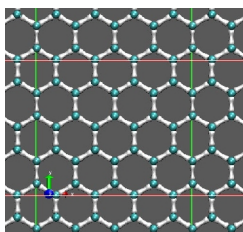
Struktura grafita



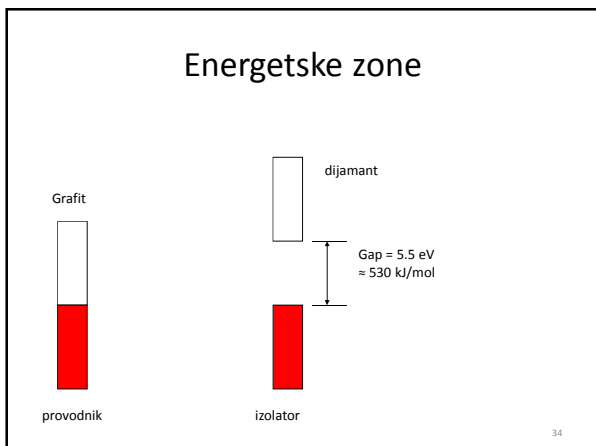
Graphite

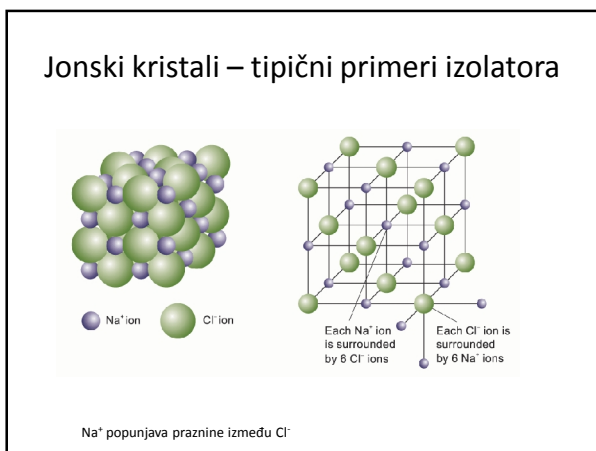
Grafit

- **Grafit ima slojevitou strukturu.**
- Grafenski sloj – sp^2 hibridizacija, delokalizovani elektroni, slojevi povezani slabim VdW vezama
- Jedini kovalentni kristal koji provodi struju

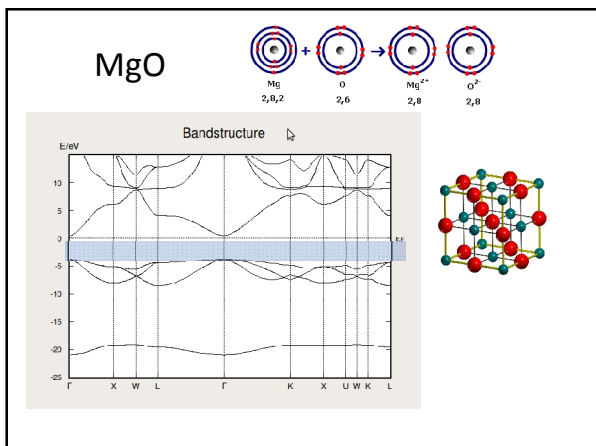


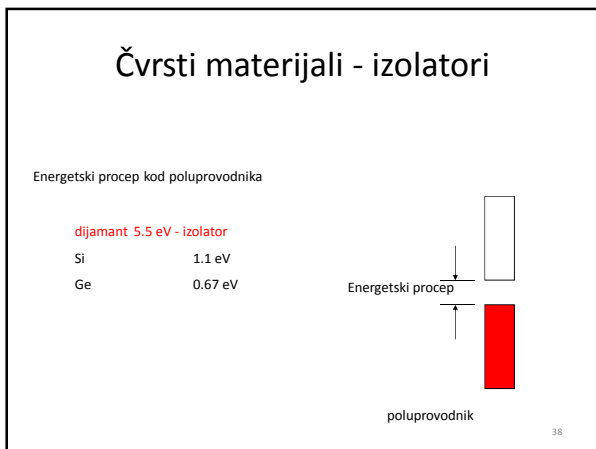
33

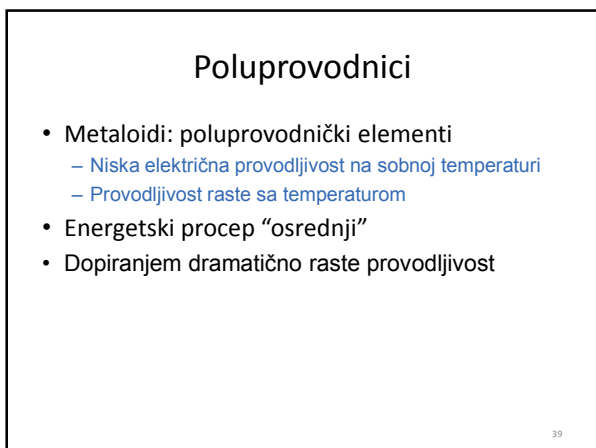


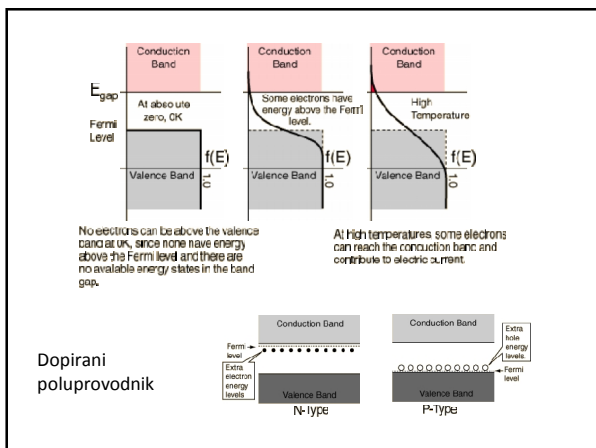


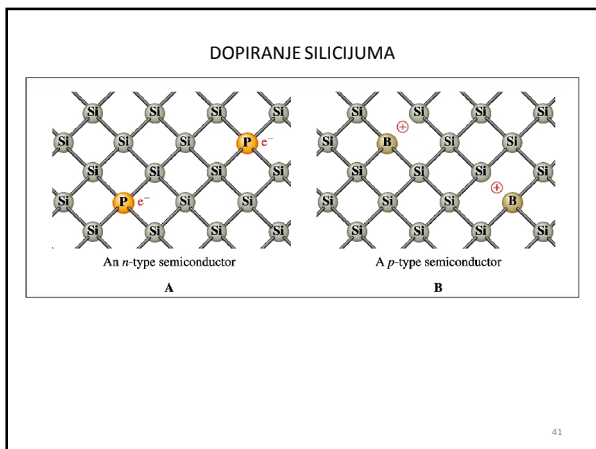
Interstitial site	Tetraedarska	Oktaedarska	Kubna	Kubna
Coordination	4 : 4	6 : 6	8 : 8	8:4
r^+/r^-	0.225 – 0.414	0.414 – 0.732	0.732 – 1.000	0.732 – 1.000
Examples	ZnS, most copper(I) halides	Alkali metal halides except CsCl	CsCl, CsBr CsI, NH ₄ Cl	CaF ₂ , BaF ₂ , BaCl ₂ , SrF ₂

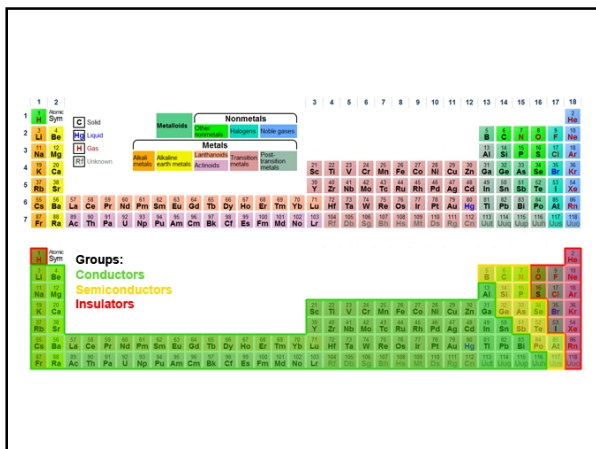










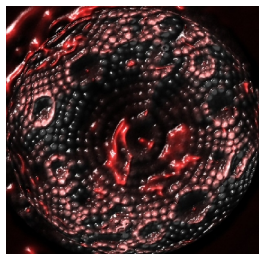


Površina

IDEJA: Kada se formira površina raspored atoma na površini ostaje sličan kao u kristalu

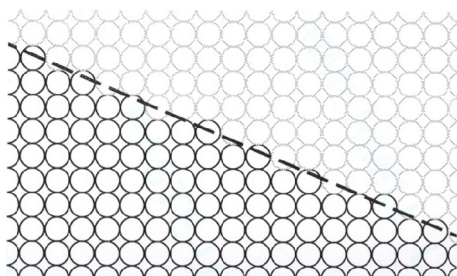
SADRŽAJ 1.2.

- Čvrsta površina
- Kristalna struktura
- Elektronska struktura
- Rekonstrukcija i relaksacija



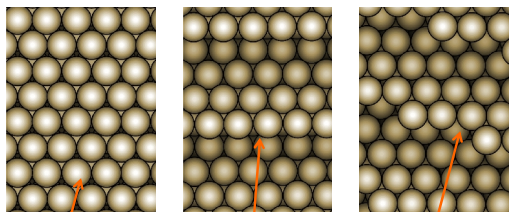
Volframova igla
 J. Chem. Phys. 124, 204716 (2006)

Formiranje površine



44

Neke od karakterističnih lokalnih struktura na površinama



Terasa

Stepenik

Kink

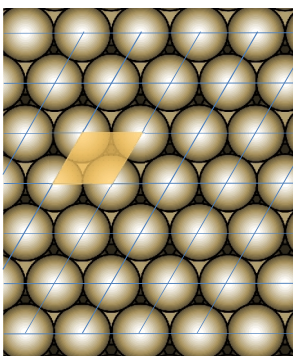
Notacija površinskih struktura

Ideja:

- Osnovna ponavljajuća jedinica na površini – jedinična ćelija
- Razviti notaciju za opis jedinične ćelije

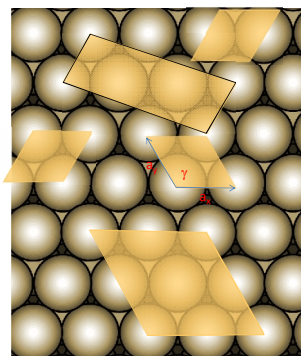
46

Jedinična površinska ćelija



47

Izbor nije jedinstven



48

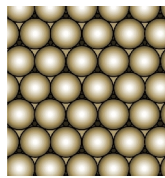
2D Bravaisove rešetke

Ideja – klasifikovati jediničnu ćeliju prema simetriji
6 Bravaisovih rešetki u 2D

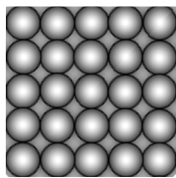
Lattice	Axes of Primitive Cell	Conventional Cell	Angles of Conventional Cell
Oblique	$a_1 \neq a_2, \gamma \neq 90^\circ$ or 120°	Parallelogram	$a_1' \neq a_2', \gamma' = 90^\circ$ or 120°
Centered rectangle	$a_1 = a_2, \gamma \neq 90^\circ$ or 120°	Rectangle	$a_1' \neq a_2', \gamma' = 90^\circ$
Primitive rectangle	$a_1 \neq a_2, \gamma = 90^\circ$	Rectangle	$a_1 \neq a_2, \gamma = 90^\circ$
Hexagonal	$a_1 = a_2, \gamma = 120^\circ$ with a <i>stokfoid</i> axis	Hexagonal	$a_1 = a_2, \gamma = 120^\circ$
Oblique	$a_1 \neq a_2, \gamma = 120^\circ$	Parallelogram	$a_1 \neq a_2, \gamma = 120^\circ$
Square	$a_1 = a_2, \gamma = 90^\circ$	90° square	$a_1 = a_2, \gamma = 90^\circ$

49

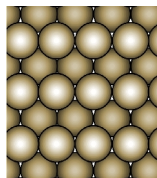
Šestougao



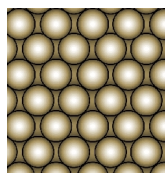
Kvadrat



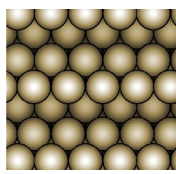
Pravougaonik



Centrirani pravougaonik

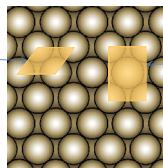


Pravougaonik



Centrirani pravougaonik

Primitivna ćelija



Konvencionalna jedinična ćelija

51

Jedinična ćelija + strukturni motiv

52

Kristalografski pravci

Algoritam

1. Pomeriti vektor da prolazi kroz (0,0,0)
2. Pročitati projekcije u umnošku a, b i c
3. Podesiti na najmanje cele brojeve
4. dati u formi [uvw]

primer: $1, 0, \frac{1}{2} \Rightarrow 2, 0, 1 \Rightarrow [201]$
 $-1, 1, 1 \Rightarrow [\bar{1}11]$ Negativan indeks – crtica iznad

Familija pravaca $\langle uvw \rangle$

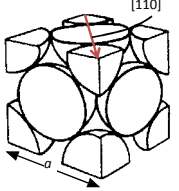
53

Miller indices: Directions

$\langle 100 \rangle = \text{set of } [100], [010], [001], [\bar{1}00], [0\bar{1}0], [00\bar{1}]$

Linearna gustina

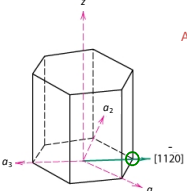
• Linearna gustina atoma \equiv LD = $\frac{\text{Broj atoma}}{\text{Jedinica dužine vektora}}$



primer: linearna gustina Al u pravcu [110]
 $a = 0.405 \text{ nm}$

atoma \rightarrow 2
 dužina \rightarrow $\sqrt{2}a$
 LD \rightarrow 3.5 nm^{-1}

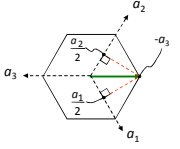
HCP kristalograski pravci



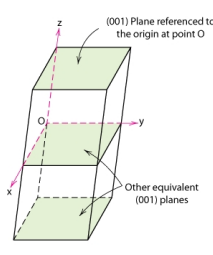
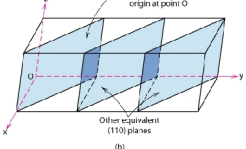
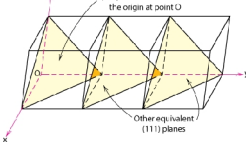
Primer: $\frac{1}{2}, \frac{1}{2}, -1, 0 \Rightarrow [11\bar{2}0]$

Algoritam

1. Pomeriti vektor da prolazi kroz (0,0,0)
2. Pročitati projekcije u umnošku a, b i c
3. Podesiti na najmanje cele brojeve
4. dati u formi [uvw]



Kristalografske ravni

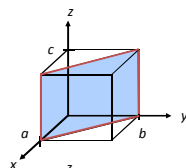
Kristalografske ravni

- Milerovi indeksi: kako se određuju?
- Sve paralelne ravni imaju iste Milerove indekse.
- Algoritam
 1. Očitati preseke ravni sa a , b , c
 2. Uzeti recipročne vrednosti odsečaka
 3. Redukovati na najmanje cele brojeve
 4. U zagrade, bez zareza (hkl)

Kristalografske ravni

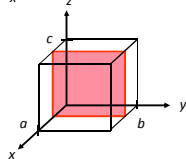
Primer

- | | a | b | c |
|---------------------|-------|-------|------------|
| 1. Preseci | 1 | 1 | ∞ |
| 2. Recipročno | $1/1$ | $1/1$ | $1/\infty$ |
| 3. Redukcija | 1 | 1 | 0 |
| 4. Milerovi indeksi | (110) | | |



Primer

- | | a | b | c |
|---------------------|---------|------------|------------|
| 1. Preseci | $1/2$ | ∞ | ∞ |
| 2. Recipročno | $1/1/2$ | $1/\infty$ | $1/\infty$ |
| 3. Redukcija | 2 | 0 | 0 |
| 4. Milerovi indeksi | (200) | | |

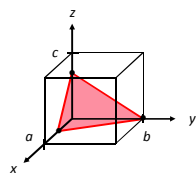


59

Kristalografske ravni

Primer

- | | a | b | c |
|---------------------|---------|-------|---------|
| 1. Preseci | $1/2$ | 1 | $3/4$ |
| 2. Recipročno | $1/1/2$ | $1/1$ | $1/3/4$ |
| 3. Redukcija | 6 | 3 | 4 |
| 4. Milerovi indeksi | (634) | | |



Porodica ravni $\{hkl\}$

Primer: $\{100\} = (100), (010), (001), (\bar{1}00), (01\bar{0}), (00\bar{1})$

60

Miller indices: Planes

$\{100\}$ =set of $(100),(010),(001),$
 $(\bar{1}00),(0\bar{1}0),(00\bar{1})$

Heksagonalni sistem (HCP)

- Ista ideja

<u>Primer</u>	a_1	a_2	a_3	c
1. Preseci	1	∞	-1	1
2. Recipročno	1	$1/\infty$	-1	1
3. Redukcija	1	0	-1	1
4. Indeksi	$(10\bar{1}1)$			

Površinska gustina

- Utiče na površinsku energiju
- Stabilnost površine
- Reaktivnost površine

Površinska gustina Fe(100)

T < 912°C BCC struktura.

2D jedinična ćelija

atoma
2D jed. ćeliji

$$\text{Površinska gustina} = \frac{1}{a^2} = \frac{1}{\left(\frac{4\sqrt{3}}{3}R\right)^2} = 12.1 \frac{\text{atoma}}{\text{nm}^2} = 1.2 \times 10^{19} \frac{\text{atoma}}{\text{m}^2}$$

1
površina
2D jed. ćelija

Radius atoma $R = 0.1241 \text{ nm}$

Površinska gustina Fe(111)

1 atom u ravni/ jedinična ćelija

2D jedinična ćelija

- atomi u ravni
- Atomi iznad ravni
- Atomi ispod ravni

površina $\square \sqrt{2} ah \square \sqrt{3} a^2 \square \sqrt{3} \left(\frac{4\sqrt{3}}{3}R\right)^2 \square \frac{16\sqrt{3}}{3}R^2$

atoma
2D jedinična ćel

$$\text{Površinska gustina} = \frac{1}{\frac{16\sqrt{3}}{3}R^2} = 7.0 \frac{\text{atoma}}{\text{nm}^2} = 0.70 \times 10^{19} \frac{\text{atoma}}{\text{m}^2}$$

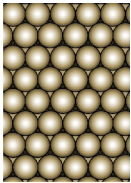
1
površina
2D jedinična ćelija

(111), (100), (110) FCC kristala

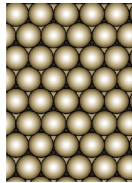
Idealne površine

Gusto pakovne površine FCC, BCC, HCP kristala imaju približno heksagonalni raspored atoma

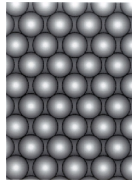
FCC (111)



HCP (001)

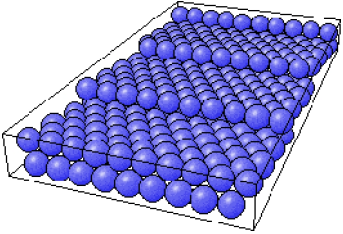


BCC (110)



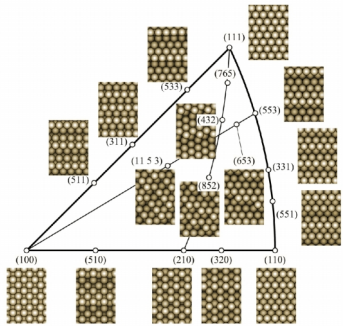
67

Površine visokih Milerovih indeksa:
Terasa + stepenik

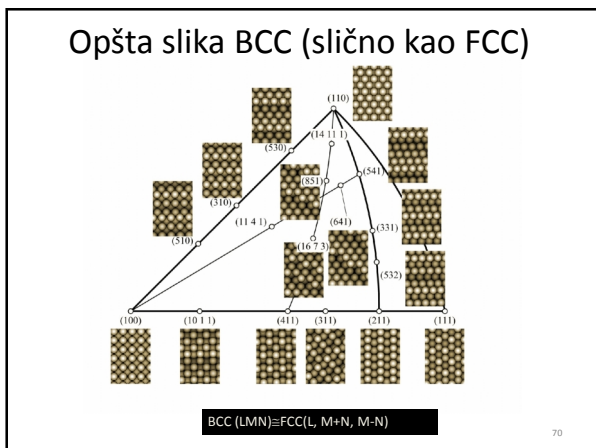


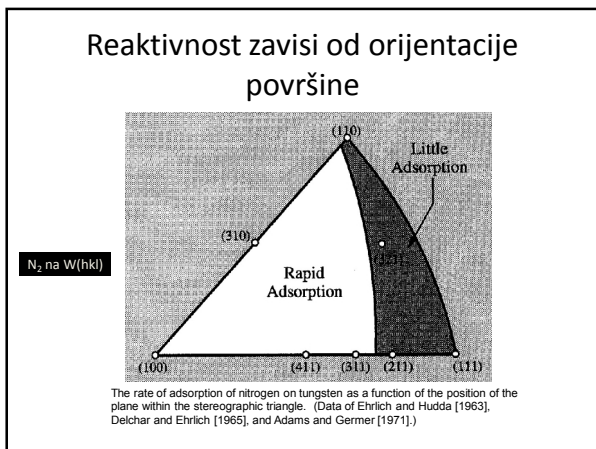
fcc(775)

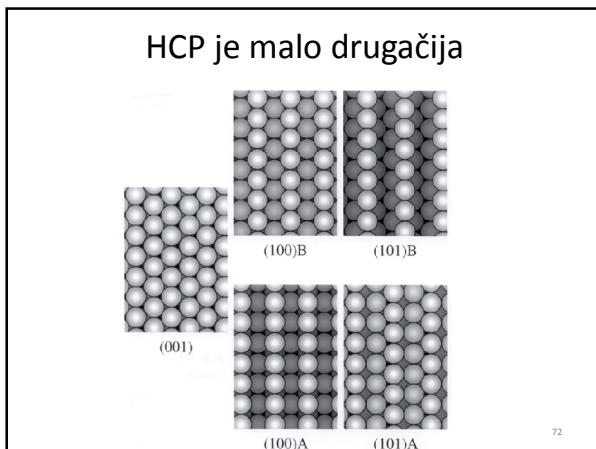
Opšta slika FCC



69







Rekonstrukcija i relaksacija površine

Idealna površina je samo aproksimacija

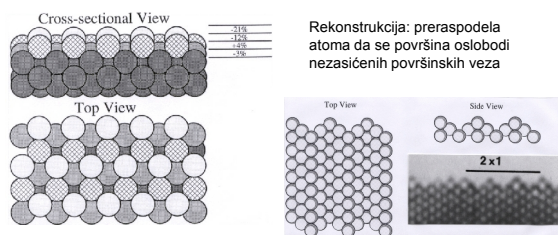
Dva tipa strukturnih promena: relaksacija i rekonstrukcija

Kod relaksacije promene su male, periodika ćelije nije promenjena

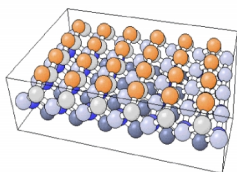
Kod rekonstrukcije velike strukturne promene, promena periodike jedinične ćelije površine u odnosu na dubinu materijala, izraženije kod kovalentnih kristala

Može biti indukovana adsorbatom

Relaksacija: Obično opada rastojanje između površinskih slojeva

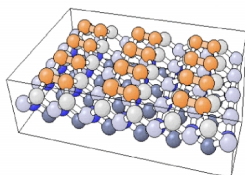


Si(100)-(2x1)



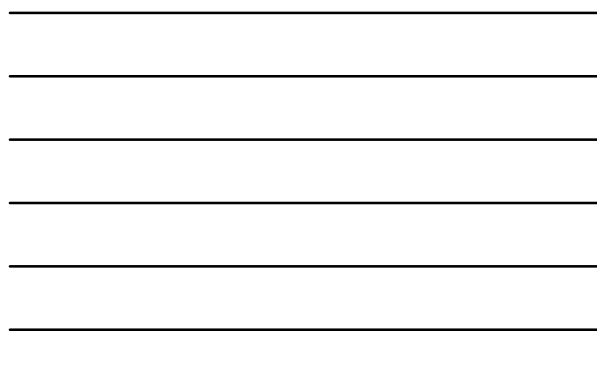
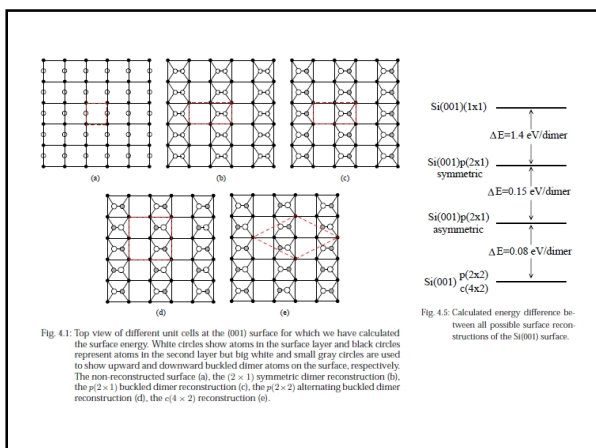
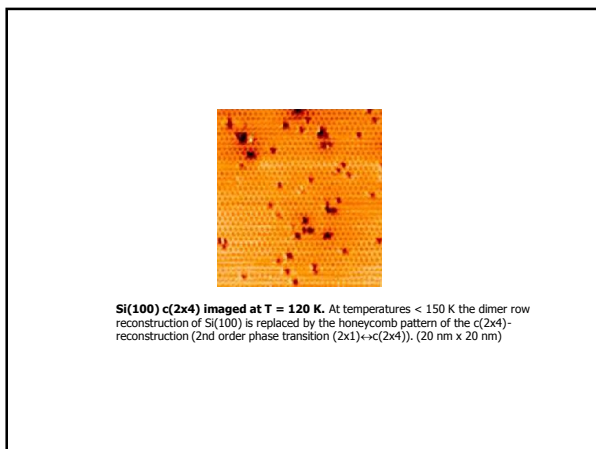
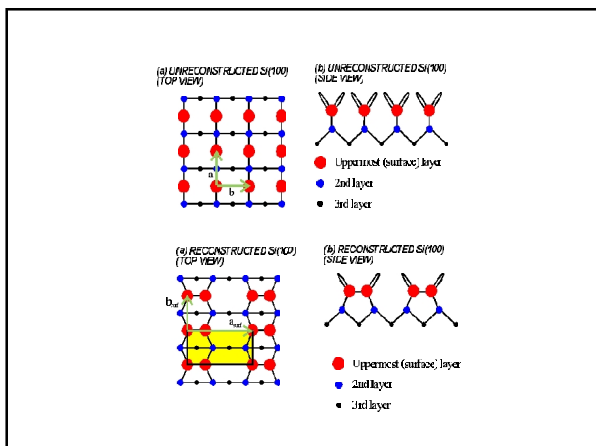
A. Unreconstructed Si(100)-(1x1) surface.

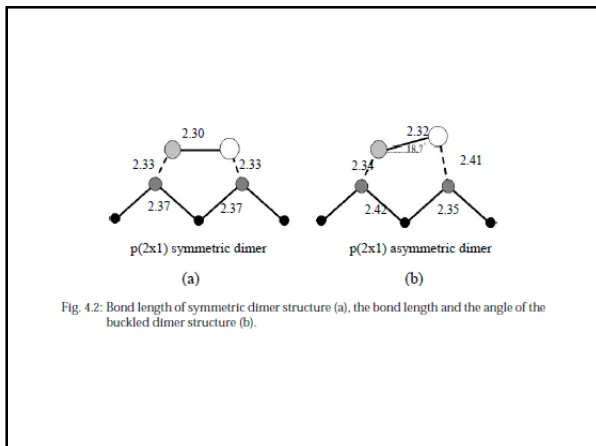
The Si atoms of the topmost layer are highlighted in orange; these atoms are bonded to only two other Si atoms, both of which are in the second layer (shaded grey).

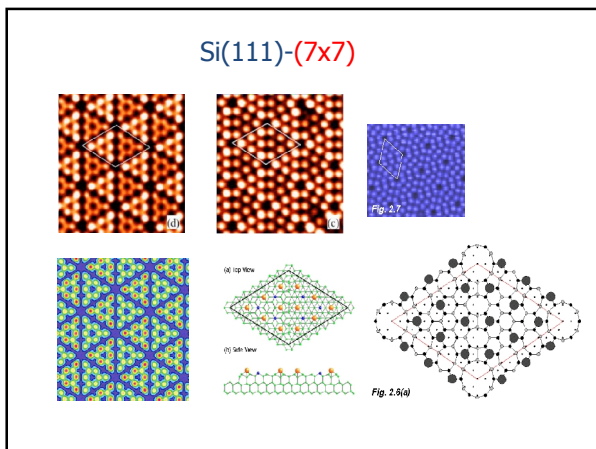


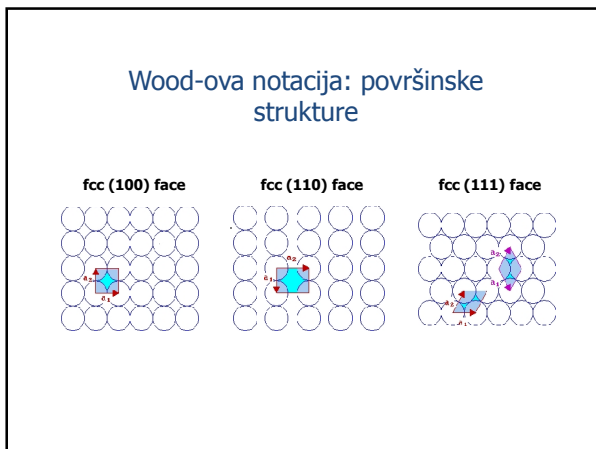
B. Reconstructed Si(100)-(2x1) surface.

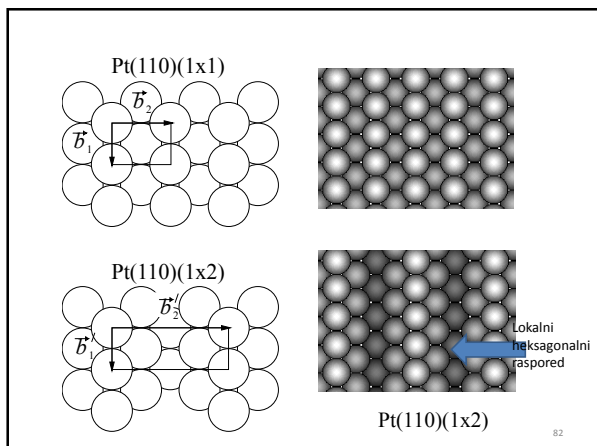
The Si atoms of the topmost layer form a covalent bond with an adjacent surface atom; are thus drawn together as pairs; they are said to form "dimers".











Adsorpcija

- Šta je pokreće
- Kako izgledaju adsorbovani slojevi
- Adsorpcioni trendovi

83

Key Terms

Adsorbat

Adsorbens

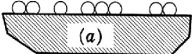
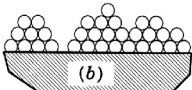
Substrat

http://shfjcs.chem.ncsu.edu/~haney/C109/NW9f_module/surface_module/111_05_binding.htm

84

Overview

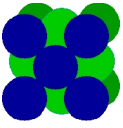
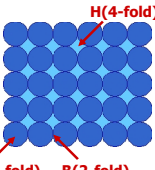
Fizičke sile - fizisorpcija
 Dipol-dipol
 korelacija
 Hemijske sile – hemisorpcija
 preraspodela naelektrisanja
 Gustine slične tečnostima
 (1 gm/cm³)=10¹⁵ molekula/cm²

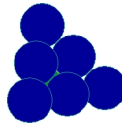
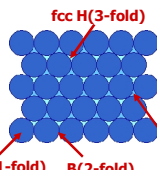
85

Adsorpciona mesta

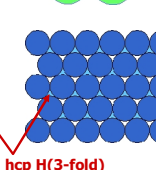
fcc (100) face

fcc (111) face

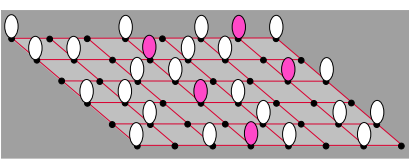



hcp (0001) face

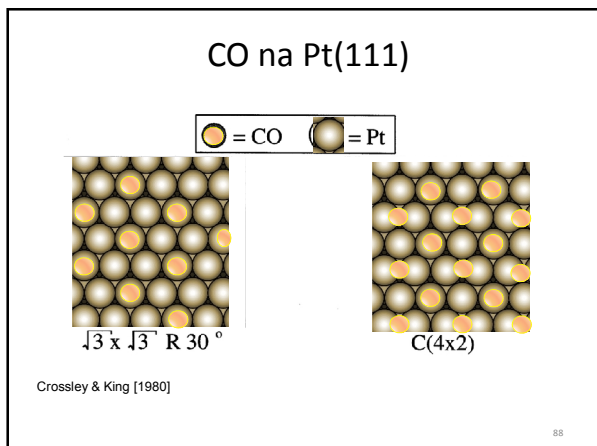
Geometrija adsorbovanih slojeva

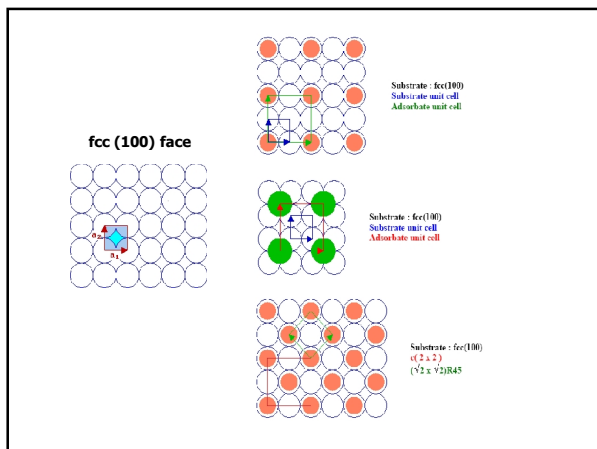
Struktura adsorbovanih slojeva je uslovljena strukturom substrata

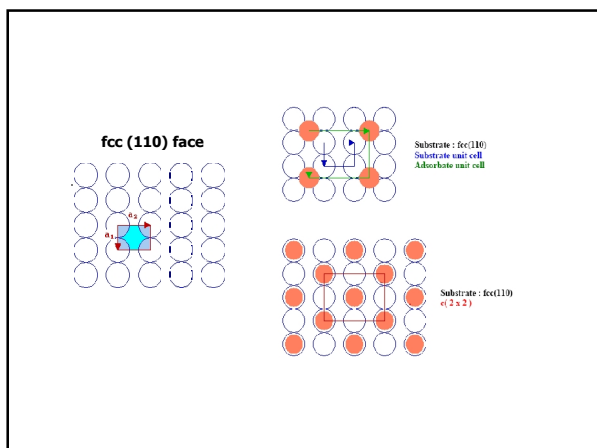


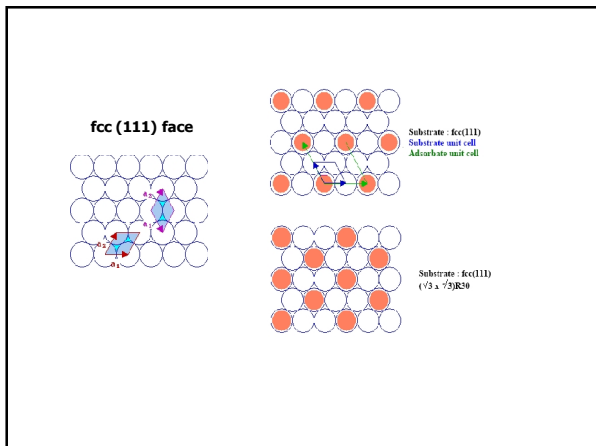
Langmuirov tip adsorpcije na čvrstoj površini

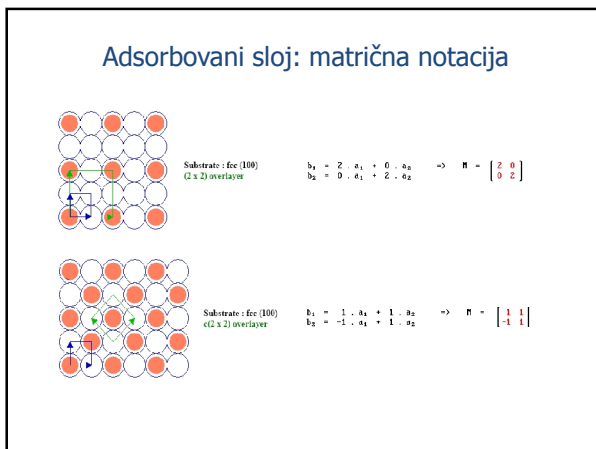
87

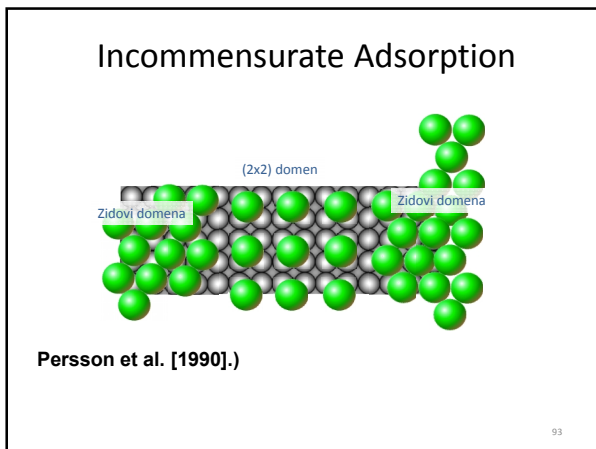




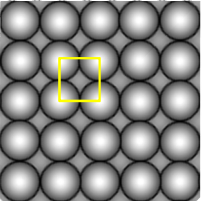




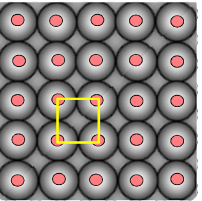




Kvadratna rešetka



primitive unit cell

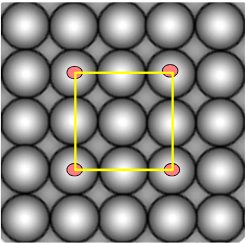


p(1x1)

94

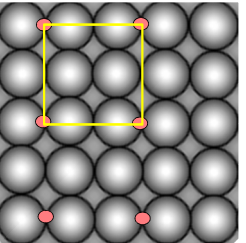
Kvadratna rešetka

c



p(2x2)

d

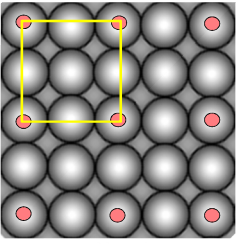


p(2x2)

95

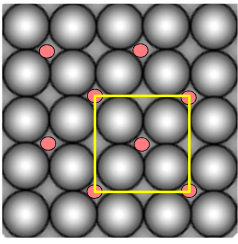
Primitivna i centrirana rešetka

c



p(2x2)

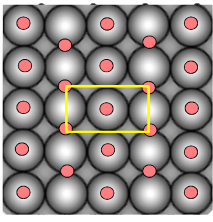
d



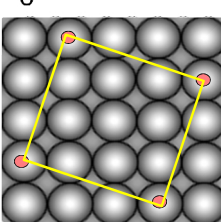
c(2x2)

96

Kvadratna rešetka



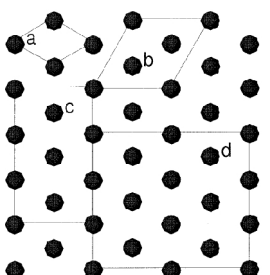
$p(2 \times 1)$



$\sqrt{10} \times \sqrt{10} \text{ } R18.4^\circ$

97

CH₃S/Au(111)



Θ	site	Δz	S-M	E_{ads}	cell
1	~on-top	2.84	3.00	4.4	c
1	~on-top	2.86	3.00	5.3	d
0.5	~on-top	2.84	2.98	5.9	d
1	fcc hollow	1.81	2.59	2.9	b
0.5	fcc hollow	1.60	2.51	11.5	c
0.25	fcc hollow	1.59	2.51	18.3	d
1	hcp hollow	1.90	2.60	-1.1	b
0.5	hcp hollow	1.70	2.53	4.7	c
1	bridge	2.09	2.57	18.6	b
0.5	bridge	2.07	2.50	19.6	c
0.25	bridge	2.05	2.49	21.8	d

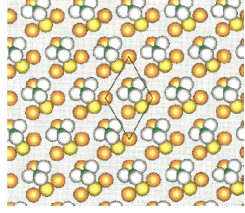
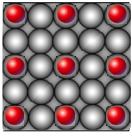
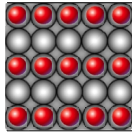


Figure 1. Surface cells used in the calculations. (a) (1×1) , (b) $(\sqrt{3} \times \sqrt{3})R30^\circ$, (c) (3×3) , (d) $(3 \times 2)\sqrt{3}$. These cells contain 1, 3, 6 and 12 Au atoms per layer, respectively. Cell d corresponds to the (4×2) superlattice of the $(\sqrt{3} \times \sqrt{3})R30^\circ$ lattice.

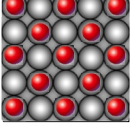
Adsorpcija CO na kvadratnoj rešetki – adsorbovane faze



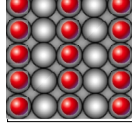
$P(2 \times 2)$



(2×1)



$C(2 \times 2)$



(1×2)

The absorption of molecules in a $p(2 \times 2)$, $C(2 \times 2)$, (2×1) overlayer. The dark circles represent sites, the red circles represent adsorption on the sites.

Hemisorpcija na metalima

- Metali imaju mnogo slobodnih elektrona koji učestvuju u vezivanju
- Veza je delokalizovana
- Elektroni su pokretni

100

Adsorpcija je kompromis – da bude dobro i adsorbatu i substratu
Mehanizam aktivacije hemijske veze u katalizi



Gaseous Benzene



Gaseous Ethylene

H—H

Gaseous Hydrogen



(3x3) Benzene On Rh(111)



Ethylene On 100 K Pt(111)



Hydrogen On Platinum

101

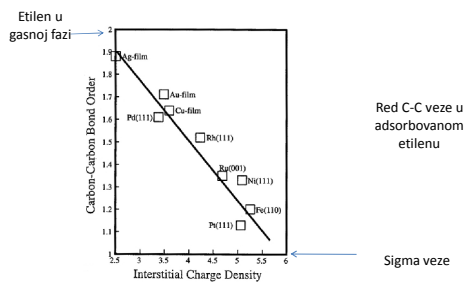
Trendovi u periodnom sistemu

Periodic Table of the Elements

H																	He
Li	Be											B	C	N	O	F	Ne
Na	Mg											Al	Si	P	S	Cl	Ar
K	Ca	Sc	Ti	V	Cr	Mn	Fe	Co	Ni	Cu	Zn	Ga	Ge	As	Se	Br	Kr
Rb	Sr	Y	Zr	Nb	Mo	Tc	Ru	Rh	Pd	Ag	Cd	In	Sn	Sb	Te	I	Xe
Cs	Ba	La	Hf	Ta	W	Re	Os	Ir	Pt	Au	Hg	Tl	Pb	Bi	Po	At	Rn
Fr	Ra	Ac	Unq	Unp	Unh	Uns	Unc	Une	Unx								
Ce	Pr	Nd	Pm	Sm	Eu	Gd	Tb	Dy	Ho	Er	Tm	Yb	Lu				
Th	Pa	U	Np	Pu	Am	Cm	Bk	Cf	Es	Fm	Md	No	Lr				

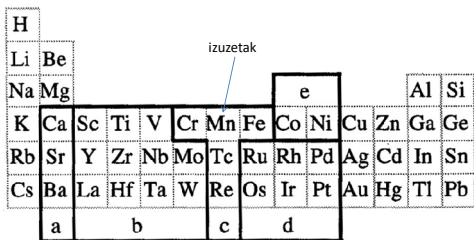
102

Često dobra korelacija između elektronske gustine, elektronegativnosti i adsorpcijskih svojstava



103

Adsorpcija kroz periodni sistem

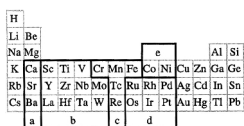


Slično se ponašaju površine metala koji imaju slične elektronske gustine i elektronegativnosti

104

Kvalitativni aspekti

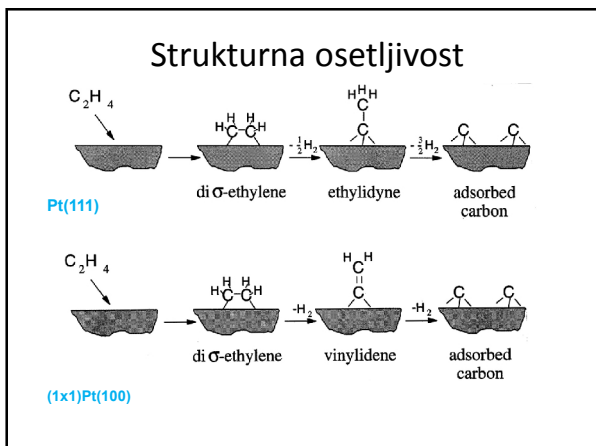
Metal	Adsorbiraj Gas			
	H ₂	O ₂	N ₂	CO
Group a	2 or 3	3	2	3
Group b	3	3	3	3
Group c	3	3	2	3
Group d	3	3	2	3
Group e	3	3	2	3
Cu	2	3	2	1
Ag	0	2 or 3	0	0
Au	0	0	0	3
Al	0	def-3	0	3
K, Na, Li	0	3	0	0

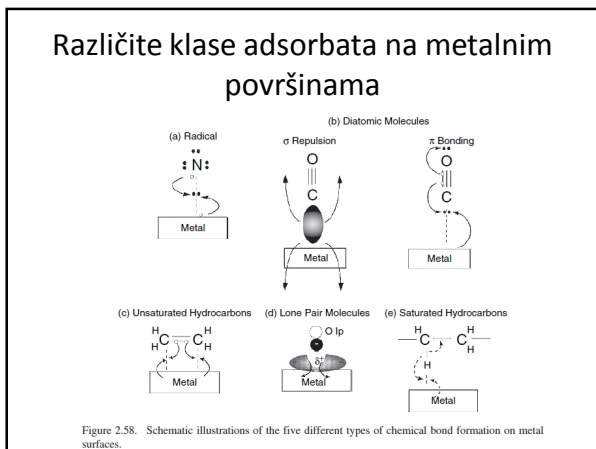


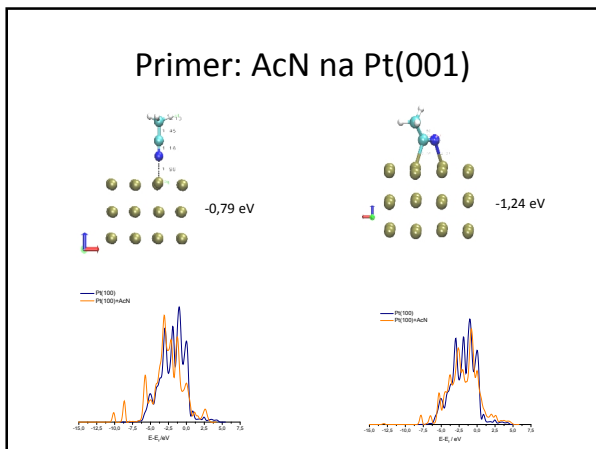
Nedovoljna elektronska gustina

- 0 – nema adsorpcije
- 1 – ima na 100 K ali nema na 300 K
- 2 – aktivirani proces
- 3 – brza adsorpcija na sobnoj temperaturi

105

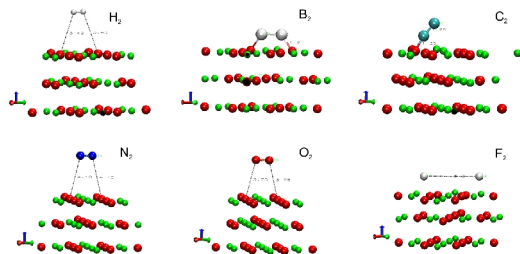




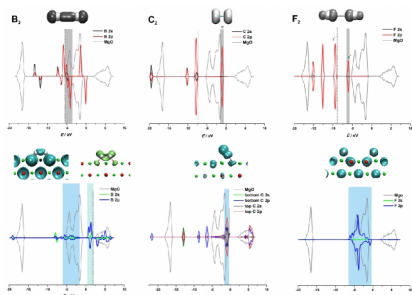


Adsorpcija na oksidima – nema jedinstvene teorije
Primer: $X_2@MgO(001)$

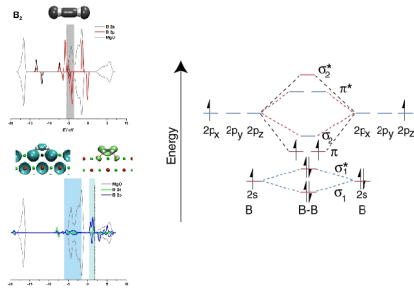
Svojstva jonskih kristala!!!



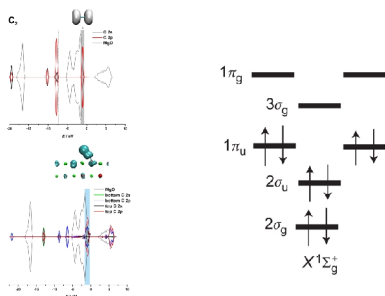
Adsorpcija na oksidima – nema jedinstvene teorije
Primer: $C_2@MgO(001)$



Adsorpcija na oksidima – nema jedinstvene teorije
Primer: $B_2@MgO(001)$



Adsorpcija na oksidima – nema jedinstvene teorije
Primer: C₂@MgO(001)



Adsorpcija na oksidima – nema jedinstvene teorije
Primer: F₂@MgO(001)

